

ORIGINAL

Recibido: 28/06/2021 | Aceptado: 19/01/2022

Distancias de diseño de parques fotovoltaicos sobre terrenos con pendientes.

Design distances for solar farms on sloping ground.

Luis Gutiérrez Urdaneta [urdaneta@emfre.une.cu] 

Master en Ciencias.

Empresa de Fuentes Renovables de Energía. La Habana, Cuba.

Resumen

Las distancias entre inicios de filas (*pitch*) y entre subconjuntos de los parques fotovoltaicos en terrenos llanos se calculan de manera sencilla. Pero no todos los terrenos son llanos y los costos de su nivelación pueden ser significativos. Las fórmulas para el cálculo de esas distancias en terrenos con pendientes, tanto Norte-Sur como Este-Oeste, o ambas, raramente se hallan en la literatura académica. El cálculo exacto de dichas distancias es una necesidad tanto para el uso más racional de la tierra, un recurso no renovable, limitado y escaso, como para evitar sombreados no deseados entre los módulos. A partir de cálculos de geometría, en el presente texto se muestran las ecuaciones para la determinación precisa de esas distancias para terrenos no llanos.

Abstract

The pitch and the distance among subsets of solar farms on flat ground are determined in an easy way. However, not all ground is flat and grading cost could be significant. Equations for the calculation of these distances for sloping ground, either with North-South slope, East-West or both, are rarely found in the scholar literature. The precise calculation of these distances is a necessity for the rational use of the land and for avoiding shading among modules. This paper, through geometric calculations, shows the equations for the exact determination of these distances for sloping grounds.



Palabras claves: distancia entre filas; distancia entre inicios de filas; terrenos con pendiente.

Keywords: inter row distance; pitch; sloping ground.

Introducción

La distancia entre los inicios de filas (D_f) es uno de los principales parámetros en el diseño espacial de los parques fotovoltaicos. La regla más común, como punto de partida, es el cálculo de dicha distancia a partir de una hora solar determinada, usualmente 8:00 AM, 9:00 AM o 10:00 AM en el solsticio de invierno (21 o 22 de diciembre), el peor escenario, de manera que a la hora seleccionada no exista sombreado entre paneles (Sánchez-Carbajal y Rodrigo, 2019).

La no consideración apropiada de los desniveles de terreno y de las condiciones topográficas puede causar el sombreado de paneles durante largos periodos de tiempo y en horas en que se espera la mayor producción de energía (Figura 1).

Figura 1. *Sombreado entre módulos un día de noviembre en un parque del noroeste de China. El sombreado se mantuvo entre las 8:40 AM y las 4:10 PM (Sun, Siming, Liying, Ruijiang y Hui, 2014)*



Por otra parte, un cálculo erróneo de la Df , puede provocar la subutilización de la tierra, un recurso no renovable, limitado y escaso.

En Cuba, para determinar la distancia entre filas, y por lo tanto de Df se aplican frecuentemente reglas empíricas que pueden dejar holguras o permitir sombreados no deseados: el doble de la altura (ΔH) entre la parte superior y la inferior del módulo inclinado, más el doble de la diferencia de altura por el desnivel del terreno (ΔZ), que se mide desde la primera “pata” de la mesa anterior y la primera “pata” de la mesa posterior, en dirección Norte-Sur, cuando el Sur es más alto que el Norte. Cuando existe pendiente en la dirección Este-Oeste se tratan de alinear los soportes con la pendiente del terreno y no se ajustan los espacios entre filas.

En la extensa búsqueda y revisión realizada, en inglés y español, de las ecuaciones para el cálculo de la Df solo se tuvo acceso a dos artículos que abordan el tema (Elhab et al., 2012), 2012) y (Xiu-Shui, Guang-Hui, Ling-Jian , Xiong-Fei y Shu-Ming, 2015). Dichas fórmulas son parte del "know how" de empresas proyectistas e instaladoras de parques en el mundo. Ambos trabajos mencionados arriba, aunque muy útiles, dejan sin precisión, sin demostración geométrica o sin explicación partes fundamentales del análisis, y a veces la descripción es confusa o algunas ecuaciones brindadas son erróneas. En el presente artículo, mediante cálculos de geometría, se muestran las fórmulas para la determinación precisa de esas distancias para terrenos llanos y no llanos. Además, se construyó una aplicación informática para el cálculo de dichas distancias que ya se puso a disposición de los diseñadores de los parques fotovoltaicos en Cuba.

Población y muestra

En el presente texto se explican los conceptos fundamentales de las distancias, las ecuaciones básicas de geometría solar y las ecuaciones específicas, obtenidas a partir de la



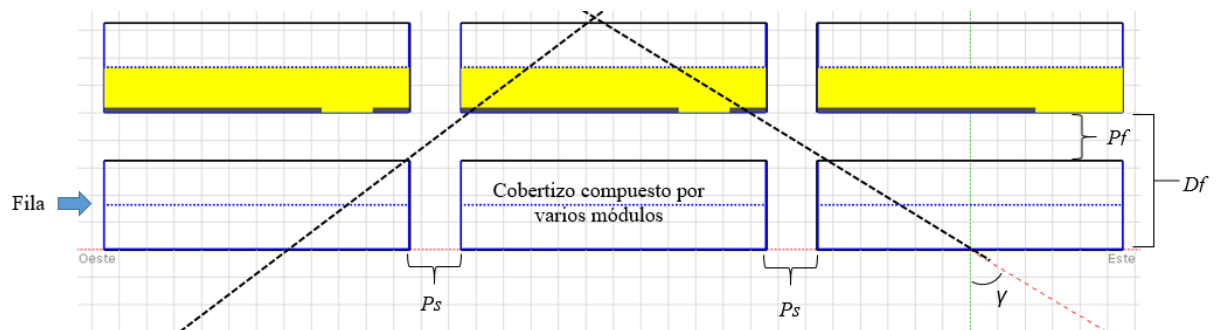
trigonometría, de las distancias entre inicios de filas y entre subconjuntos para terrenos llanos y con pendientes. Se verifican los resultados de dichas ecuaciones específicas, a través de simulaciones con el internacionalmente reconocido *software* PVsyst (Group of Energy Institute of the Sciences of the Environment, 2019), y se menciona brevemente, además, la aplicación informática construida. PVsyst es el *software* profesional más utilizado en Cuba como herramienta de simulación. Entre los parámetros que deben ser imputados como datos de entrada en ese programa están las distancias entre inicios de filas y entre subconjuntos.

Los conceptos básicos

La distancia entre inicios de filas, como ya se ha subrayado, es uno de los conceptos básicos en el diseño de los parques solares. La distancia o pasillo entre subconjuntos (P_s) sólo es necesaria cuando existen diferentes configuraciones alledañas, sea porque los ángulos de inclinación de los módulos son diferentes, o porque existen subconjuntos separados debido a la topografía. También es útil cuando existen objetos cercanos al parque. Ambas distancias son las mínimas para que no existan sombreados entre paneles a una hora solar dada, de un determinado día del año (generalmente en el solsticio de invierno).

La D_f se compone de dos elementos: el ancho de la fila (A_f) y el pasillo o distancia entre filas (P_f) (Figura 2).

Figura 2. Vista aérea de un parque.



$$\omega = 15 \cdot (t - 12) \quad [\text{grados}] \quad (1)$$

siendo t : hora solar local

La declinación solar es el ángulo entre los rayos del Sol y el plano ecuatorial de la tierra. Los ángulos de declinación son positivos cuando el Sol se encuentra al Norte del ecuador y negativo cuando se halla al Sur. Alcanza su valor máximo de $23,45^\circ$ en el solsticio de verano y el mínimo de $-23,45^\circ$ en el solsticio de invierno. Su valor es cero en los equinoccios. Existen varias ecuaciones para su determinación. Una de las más utilizadas es la siguiente (Cooper, 1969):

$$\delta = 23,45^\circ \cdot \text{seno} \left(360 \cdot \frac{284 + n}{365} \right) \quad [\text{grados}] \quad (2)$$

siendo n : día del año comenzando por 1 hasta 365 desde el primero de enero.

La ecuación del azimut es la siguiente (Nfaoui y El-Hami, 2018):

$$\gamma = \text{acos} \left(\cos \delta \cdot \frac{\text{seno } \omega}{\cos \alpha} \right) \quad [\text{grados}] \quad (3)$$

La elevación se calcula de la siguiente manera (Abdallah, Abdel-Fattah y Manzano-Agugliaro, 2020):

$$\alpha = \text{aseno} (\text{seno } \delta \cdot \text{seno } \varphi + \cos \delta \cdot \cos \omega \cdot \cos \varphi) \quad [\text{grados}] \quad (4)$$

Como ha sido expuesto anteriormente, una regla comúnmente usada para el diseño de los parques solares es el uso de una hora solar determinada. La selección de esa hora garantiza que, en el solsticio de invierno, si se selecciona, por ejemplo, las 10:00 AM como hora solar de diseño, no existirá sombreado entre los módulos dos horas antes y dos horas después en que el Sol se halle en el cenit.

La hora legal local es aquella que se fija en los territorios y por la cual se rige la vida en los mismos. A la hora de realizar las simulaciones, es necesario tener en cuenta que la hora solar (t) y la hora legal solamente coinciden excepcionalmente.



Para calcular la diferencia entre la hora solar y la hora legal (DH_{sHI}) para cualquier día del año se utiliza frecuentemente la siguiente ecuación (Gebremedhen, 2014):

$$DH_{sHI} = 4 (75 - Lloc) + E \quad [\text{minutos}] \quad (5)$$

Siendo:

$Lloc$: Longitud geográfica del sitio ($^{\circ}$)

$$E = 229,2 \cdot [0,000075 + 0,001868 \cdot \cos(B) - 0,032077 \cdot \text{seno}(2.B) - 0,014615 \cdot \cos(2.B) - 0,04089 \cdot \text{seno}(2.B)] \quad [\text{minutos}] \quad (6)$$

$$B = (n - 1) \cdot \frac{360}{365} \quad [\text{adimensional, en } E \text{ se convierte a radianes}] \quad (7)$$

n : día del año comenzando por 1 hasta 365 desde el primero de enero

Los resultados obtenidos con esta ecuación son precisos. Para una corroboración de la diferencia entre la hora solar y la hora legal el 21 de diciembre (DH_{sHI}^*), el autor del presente artículo, realizó una regresión para ocho longitudes geográficas de Cuba, a partir de las diferencias según <https://www.powerfromthesun.net/calculators/SolarToLocalTime.html>. El R^2 fue de 0,9999 con error de estimación de 0,001 minutos. Sus resultados fueron verificados en el PVsyst.

$$DH_{sHI}^* = -3,9992 \cdot Lloc - 301,73, \quad [\text{minutos}] \quad (8)$$

La altura es la diferencia longitudinal normal entre el extremo superior del panel delantero y el terreno o la línea imaginaria paralela al mismo que pasa por el extremo inferior del módulo siguiente (Figura 4).



Se halla He :

$$He = OA = Ab \cdot \text{seno } (\beta) \quad (11)$$

Siendo γ el azimut solar, α la elevación solar y z el azimut del parque, según su orientación específica. La inmensa mayoría de los parques con ángulo fijo se instalan con azimut igual a cero. Si excepcionalmente ese azimut fuera de unos pocos grados, la llamada pendiente Norte-Sur se determinaría como aquella entre los cobertizos y la Este-Oeste, como la pendiente de las bases de los cobertizos, o lo que es igual, a partir de las líneas paralelas y perpendiculares a la del azimut del parque. Por razones de mejor comprensión, las continuaremos denominando como pendientes Norte-Sur y Este-Oeste.

$$D_1 = Pf = OG = He \cdot \frac{\cos(\gamma - z)}{\tan \alpha} \quad (12)$$

El ancho de fila se calcula de la siguiente manera:

$$Af = Ab \cdot \cos \beta \quad (13)$$

La distancia entre inicios de filas se determina como:

$$Df = Pf + Af = He \cdot \frac{\text{seno } (\gamma - z)}{\tan \alpha} + Ab \cdot \cos \beta \quad (14)$$

Finalmente, el pasillo entre subconjuntos se determina así:

$$D_2 = Ps = GF = He \cdot \frac{\text{seno } (\gamma - z)}{\tan \alpha} \quad (15)$$

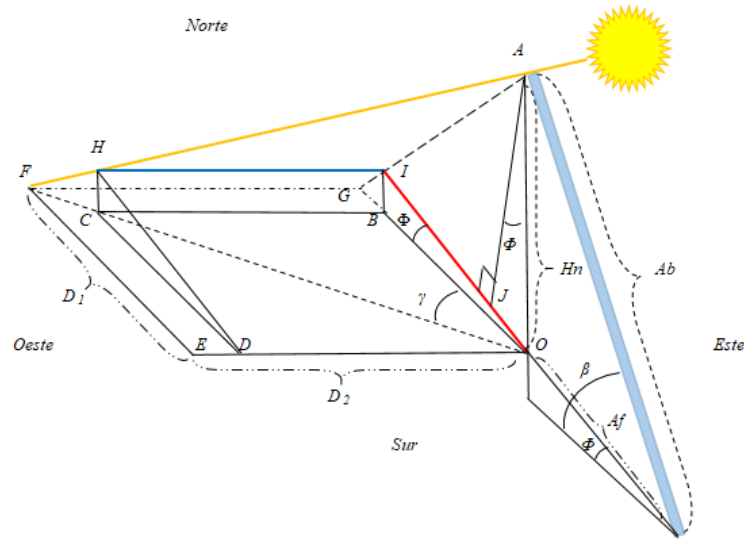
Las distancias de diseño en terrenos con pendiente Norte-Sur

Respecto a la distancia entre inicio de filas (Df) y la distancia entre subconjuntos (Ps) en terrenos con pendiente Norte-Sur, es importante precisar que, como convención, la pendiente es positiva si el Norte es más alto que el Sur. Si no, es negativa. Primero se realiza el cálculo de la distancia entre filas (Norte-Sur), utilizando un artificio trigonométrico: la creación del triángulo rectángulo OAB con el segmento AJ normal al segmento OI.



Como $\angle OBI = \angle AJI = 90^\circ$, y $\angle IBO = \angle AOI$ por ser ángulos alternos internos entre paralelas, entonces $\angle OAJ$ es igual a la pendiente Norte-Sur Φ (Figura 6) (Xiu-Shui et al., 2015).

Figura 6. P_f , A_f y P_s en terrenos con pendiente Norte-Sur



Para el cálculo de D_1 y D_2 se toma H_n en vez de H_e . Se determina H_n .

$$H_n = OA = Ab \cdot [\text{seno}(\beta) - \text{seno}(\Phi)] \quad (16)$$

Como,

$$\Delta OAG = \Delta OAI + \Delta OIG$$

$$0,5 \cdot H_n \cdot D_1 = 0,5 \cdot H_n \cdot \cos \Phi \cdot OI + 0,5 \cdot OI \cdot D_1 \cdot \text{seno} \Phi$$

Entonces,

$$P_f = OI = \frac{H_n \cdot D_1}{H_n \cdot \cos \Phi + D_1 \cdot \text{seno} \Phi} \quad (17)$$

$$A_f = \frac{Ab \cdot \cos \beta}{\cos \Phi} \quad (18)$$

La distancia entre inicios de filas sería:

$$D_f = \frac{H_p \cdot D_1}{H_n \cdot \cos \Phi + D_1 \cdot \text{seno} \Phi} + \frac{Ab \cdot \cos \beta}{\cos \Phi} \quad (19)$$



La distancia entre subconjuntos se obtendría a través de la ecuación que sigue:

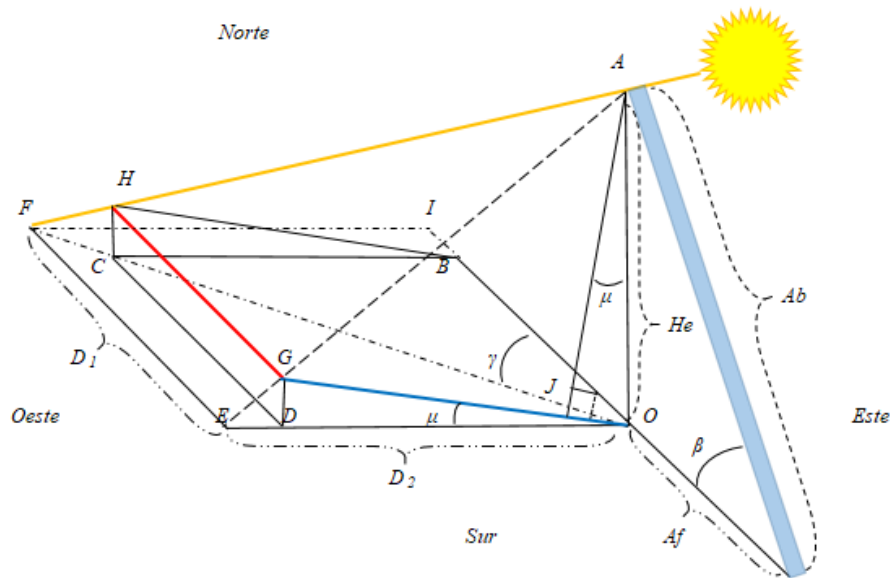
$$P_s = IH = \frac{D_2 \cdot Pf \cdot \cos \Phi}{D_1} \quad (20)$$

Las distancias de diseño en terrenos con pendiente Este-Oeste

Respecto a la distancia entre inicio de filas (D_f) y la distancia entre subconjuntos (P_s) en terrenos con pendiente Este-Oeste, se debe partir de que, como convención, la pendiente es positiva si el Oeste es más alto que el Este. Si no, es negativa.¹ De manera similar a la anterior se procede en este caso.

Como $\angle ODG = \angle AJO = 90^\circ$, y $\angle AOG = \angle DGO$ por ser ángulos alternos internos entre paralelas, entonces $\angle OAJ$ es igual a la pendiente Este-Oeste μ (Figura 7) (Xiu-Shui et al., 2015).

Figura 7. P_f , A_f y P_s en terrenos con pendiente Este-Oeste



Primero se determina He .

$$He = OA = Ab \cdot \text{seno } \beta \quad (21)$$

$$\Delta OAE = \Delta OAG + \Delta OGE$$

¹ Debe tenerse en cuenta que en el *software* PVsyst la convención es contraria: si el Oeste es más alto, la pendiente es negativa.



$$0,5 \cdot He \cdot D_2 = 0,5 \cdot He \cdot \cos \mu \cdot OG + 0,5 \cdot OG \cdot D_2 \cdot \text{seno } \mu$$

Entonces, la distancia entre subconjuntos sería el resultado de:

$$Ps = OG = \frac{He \cdot D_2}{He \cdot \cos \mu + D_2 \cdot \text{seno } \mu} \quad (22)$$

La distancia entre filas se obtendría así:

$$Pf = GH = \frac{D_1 \cdot Ps \cdot \cos \mu}{D_2} \quad (23)$$

Como

$$Af = Ab \cdot \cos \beta \quad (24)$$

La distancia entre inicios de filas sería,

$$Df = \frac{D_1 \cdot Ps \cdot \cos \mu}{D_2} + Ab \cdot \cos \beta \quad (25)$$

Caso general: distancias de diseño en terrenos con pendiente Norte-Sur y Este-Oeste

Para la distancia entre inicio de filas (Df) y la distancia entre subconjuntos (Ps) en terrenos con pendiente Norte-Sur y Este-Oeste (escenario frecuente), la determinación de Pf , Df y Ps es algo más compleja (Figura 8). Aunque (Xiu-Shui et al., 2015) abordan esta situación, no exponen demostración trigonométrica, la explicación es confusa, utilizan como hora de diseño la del atardecer y las ecuaciones resultantes no son correctas. Además, no hay claridad en la altura utilizada para los cálculos.

El autor del presente texto ha partido de la representación espacial del problema, usando la trigonometría para determinar las ecuaciones.



Así, el pasillo entre subconjuntos es:

$$P_s = \frac{D_2 \cdot \sqrt{D_1^2 + D_2^2} \cdot \cos \Phi \cdot \text{seno } \alpha \cdot \cos \mu}{\cos \Phi \cdot (D_2 \cdot \cos \alpha \cdot \text{seno } \mu + \sqrt{D_1^2 + D_2^2}) \cdot \text{seno } \alpha \cdot \cos \mu + D_1 \cdot \text{seno } \phi \cdot \cos \alpha \cdot \cos \mu} \quad (27)$$

Así,

$$OE = P_s \cdot \frac{D_1}{D_2} \quad \text{y,}$$

Y,

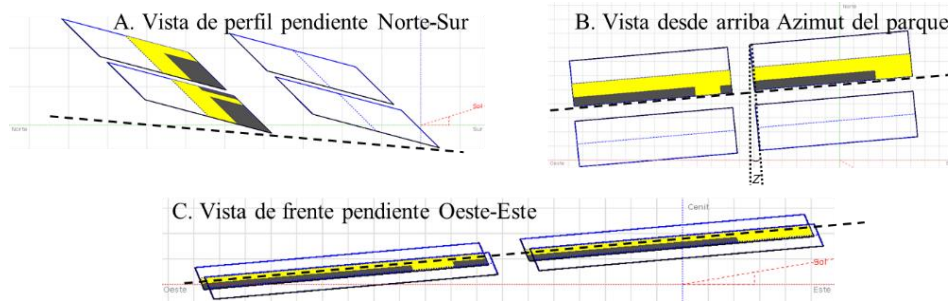
$$P_f = \frac{P_s \cdot \frac{D_1}{D_2}}{\cos \Phi}, \quad \text{entonces la distancia entre inicios de fila sería:} \quad (28)$$

$$D_f = P_f + Af = \frac{P_s \cdot \frac{D_1}{D_2} + Ab \cdot \cos \beta}{\cos \Phi} \quad (29)$$

Las ecuaciones (27), (28) y (29) son válidas para cualquier configuración: parques sin pendiente, con pendiente Norte-Sur, con pendiente Este-Oeste o ambas, y para cualquier azimut del parque (positivo o negativo). Además, para que la ecuación de D_f sea aplicable el parque debe estar alineado en la pendiente Norte-Sur (Figura 9-A) y para la de P_s en la vista desde arriba (Azimut del parque) y en la pendiente Oeste-Este (Figura 9-B y C). Cuando un terreno es irregular, este puede ser dividido en áreas y aplicar las ecuaciones según las condiciones de cada subdivisión.



Figura 9. Alineaciones necesarias



Análisis de los resultados

Para verificar los resultados de las ecuaciones halladas, y evaluar, simultáneamente, la precisión del *software* PVsyst se imputaron las distancias entre filas y entre subconjuntos de cuatro localidades con diferentes horas solares de diseño, anchos de bandas receptoras, inclinación de módulos, azimuts de parques y pendientes. Una parte de los resultados comparados se muestra en la tabla 1:

Tabla 1. Muestra de diferencias en la hora legal entre las ecuaciones y las simulaciones

Provincia	P. del Río		La Habana		S. Spíritus		Santiago de Cuba		
Latitud del sitio	22.24°		23.10°		21.57°		20.02°		
Longitud del sitio	-84.07°		-82.34°		-79.21°		-75.84°		
Ancho de banda receptora	4,08 m		4,12 m		4,08 m		4,03 m		
Inclinación de paneles	14°		15°		13°		15°		
Azimut del parque	3°	0°	0°	0°	0°	0°	5°	-5°	0°
Pendiente Norte-Sur	0°	-5°	0°	0°	3°	-3°	-3°	3°	5°
Pendiente Este-Oeste	0°	3°	5°	-5°	-3°	3°	3°	-3°	0°
<i>D_f</i> (metros)	5,77	6,72	5,73	6,97	5,52	6,22	5,75	5,04	5,09
<i>P_s</i> (metros)	2,97	3,99	2,74	4,34	2,22	3,23	3,35	1,04	1,54
Hora solar en ecuaciones	8:00		8:00		8:00		8:00	9:00	
Hora legal a las 8:00*	8:34		8:28		8:15		8:02	9:02	
Hora legal según PVsyst**	8:32	8:32	8:26	8:27	8:18	8,19	8,02	9,06	9,06
Diferencia (minutos)	-2	-2	-2	-1	3	4	0	4	4

* Hora legal AM de acuerdo con la ecuación de regresión hallada por el autor.
 ** Hora legal local AM, en la cual ya no hay sombreados entre paneles en la simulación.

Las horas legales locales AM, en las cuales ya no hay sombreados, utilizadas en la determinación de *D_f* y *P_s* a través de las ecuaciones y las que resultaron de las simulaciones



divergieron en unos pocos minutos (en la muestra, promedio de un minuto y desviación típica de tres).

Se concluye, entonces, que las ecuaciones solares usadas y las trigonométricas desarrolladas en este trabajo tienen suficiente precisión para ser utilizadas como herramienta de diseño.

A la hora de utilizar estas ecuaciones debe tenerse en cuenta que las distancias son las mínimas para que no exista sombreado entre paneles a una determinada hora solar. Lo usual es que cuando se determinen Df y Ps a una hora solar dada en el solsticio de invierno también se quiera garantizar que tampoco existan sombreados entre las 8 AM y las 4 PM, o entre las 9 AM y las 3 PM, o entre las 10 AM y las 2 PM, es decir, 8, 6 o 4 horas sin sombreado mutuo (Oficina Nacional de Normalización, 2017).

Pero cuando hay pendiente Este-Oeste positiva (μ) o el azimut del parque (z) es diferente de cero, es necesario utilizar las ecuaciones aquí descritas, introduciendo la hora solar local (t) correspondiente después del mediodía para calcular la afectación que podría ocurrir en el supuesto periodo libre de sombras mutuas.

Fueron realizados los cálculos para diferentes pendientes Este-Oeste y azimuts (Tabla 2).

Tabla 2. Df y Ps con diferentes pendientes E-O y azimuts

Localidad	La Habana							
Latitud del sitio	23.1°							
Longitud del sitio	-82.34°							
Ancho de banda	4,08 m							
Inclinación de paneles	13°							
Azimut del parque (z)	0°		0°		5°		-5°	
Pendiente E-O (μ)	5°		-5°		0°		0°	
Hora solar local (t)	8:00	16:00	8:00	16:00	8:00	16:00	8:00	16:00
Df (metros)	5,49	6,55	6,55	5,49	5,63	6,10	6,10	5,63
Ps (metros)	2,19	-3,73	3,73	-2,19	2,90	-2,57	2,57	-2,90



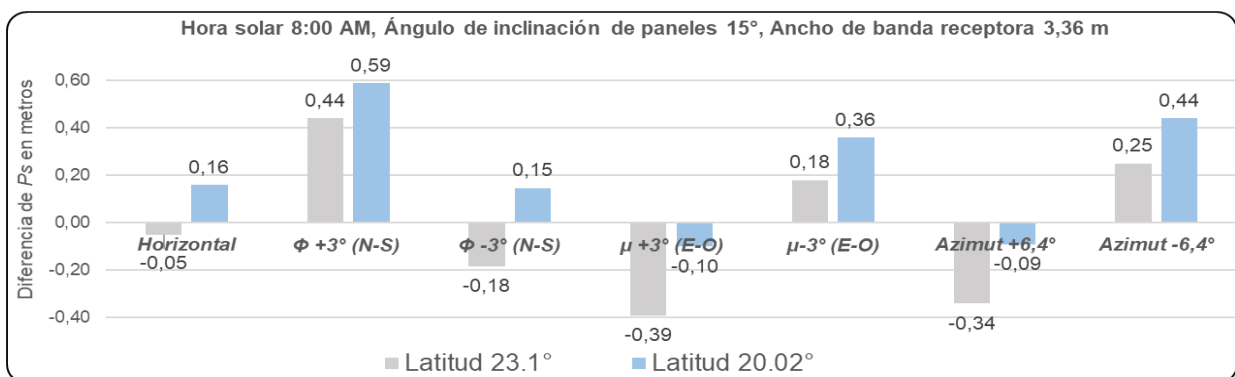
Obsérvese que:

- La Df y el P_s (en valores absolutos) con pendiente positiva Este-Oeste y hora solar local de 8 horas son inferiores a los obtenidos con la hora solar local de 16 horas, por lo cual el sombreado por la tarde comienza antes de las 16 horas y, por lo tanto, resultan menos de 8 horas sin sombreado.

- La Df con azimut positivo y hora solar 8 es inferior a la obtenida a las 16.
- El P_s (en valores absolutos) con azimut negativo con hora solar local 8 es menor que el resultado, si se toma como hora solar las 16 horas.

Respecto a las reglas empíricas, como antes se afirmó, su aplicación en Cuba, aunque útil a falta de métodos más precisos, puede dejar holguras innecesarias o insuficientes espacios entre filas, a veces significativos, dependiendo de las latitudes, pendientes Norte-Sur y Este-Oeste y azimuts (Figura 10). Nótese también que, en muchos casos, en la medida que disminuye la latitud, aumentan las holguras.

Figura 10. Diferencias entre los pasillos entre filas según ecuaciones y reglas empíricas

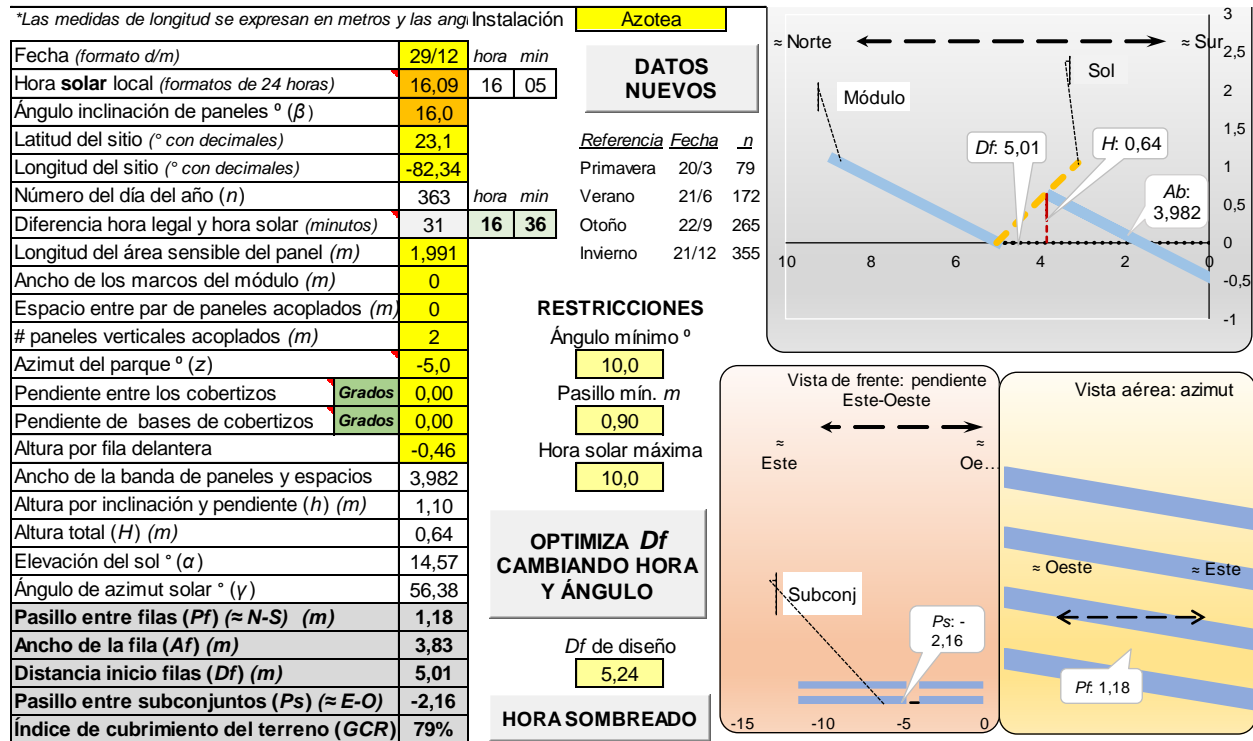


Con las ecuaciones desarrolladas se construyó una aplicación informática en Excel (Figura 11). La aplicación incorpora dos macros: una para determinar la hora solar local de diseño y la inclinación de los paneles, que minimicen la distancia entre inicios de filas (Df), garantizando un pasillo mínimo para labores de operación y mantenimiento, y otra, para



determinar la hora de la tarde en que debe comenzar el sombreado. Esta aplicación también tiene una versión para celulares que funciona con *WSP Office*.

Figura 11. Vista de aplicación informática desarrollada



Conclusiones

1. La literatura sobre los parámetros de diseño aquí tratados es escasa, y las halladas dejan sin precisión, sin demostración geométrica o sin explicación partes fundamentales del análisis y, a veces, la descripción es confusa.
2. La determinación más exacta de las distancias entre filas, inicios de filas y entre subconjuntos es una necesidad para la proyección óptima de los parques fotovoltaicos de ángulo fijo en Cuba.
3. Las ecuaciones de geometría solar utilizadas y las trigonométricas aquí desarrolladas son el soporte de una aplicación informática que ya fue evaluada y avalada por la mayor empresa cubana proyectista de grandes parques fotovoltaicos, y extendida a



todas sus dependencias como herramienta, tanto para el propio diseño de los parques como para la revisión de la ingeniería cuando es realizada en el extranjero, en sustitución de las reglas empíricas hasta ahora en uso. 4.- La utilización de las ecuaciones aquí descritas, además de brindar mayor soberanía técnica, redundará en mayor instalación de potencia en ciertas áreas o evitación de sombreados no deseados en otras, en fin, a una mayor eficiencia en la generación fotovoltaica.

Referencias bibliográficas

- Akhlaghi, Shahrokh, Morteza Sarailoo, Mandana Rezaeiahari, y Hossein Sangrody. 2017. «Study of Sufficient Number of Optimal Tilt Angle Adjustment to Maximize Residential Solar Panels Yield.» *IEEE Power and Energy Conference at Illinois* 1-5. doi: 10.1109/PECI.2017.7935747.
- Abdallah, R., S. Abdel-Fattah , y F. Manzano-Agugliaro . 2020. «Estimating the Optimum Tilt Angles for South-Facing Surfaces in Palestine .» *Energies* 13: 623. doi:10.3390/en13030623.
- Cooper, P.I. 1969. «The absorption of radiation in solar stills.» *Solar Energy* 12 (3): 333-346. doi:10.1016/0038-092X(69)90047-4.
- Elhab, B. R. , K. Sopian, Sohif Mat, Ch. Lim, M. Y. Sulaiman, M. H. Ruslan, y Omidreza Saadatian. 2012. «Optimizing tilt angles and orientations of solar panels for Kuala Lumpur, Malaysia.» *Scientific Research and Essays* 7: 3758-3765. doi:10.5897/SRE12.241.
- Gebremedhen, Yohannes Berhane . 2014. «Determination of Optimum Fixed and Adjustable Tilt Angles for Solar Collectors by Using Typical Meteorological Year



- data for Turkey.» *International Journal of Renewable Energy Research* (Gazi University) 4: 924-928. doi:10.20508/ijrer.v4i4.1588.g6452.
- Group of Energy Institute of the Sciences of the Environment . 2019. «PVsyst V6.81.» University of Geneva. <https://www.pvsyst.com/download-pvsyst/>.
- Nfaoui, Mohamed , y Khalil El-Hami. 2018. «Extracting the maximum energy from solar panels.» *Energy Reports* (Elsevier Ltd) 4: 536-545.
doi:10.1016/j.egyr.2018.05.002.
- Oficina Nacional de Normalización. 2017. «NC 800, Capítulo 13: Instalaciones fotovoltaicas.» Cuba. <http://www.ncnorma.cu>.
- Sánchez-Carbajal, S., y P. M. Rodrigo. 2019. «Optimum Array Spacing in Grid-Connected Photovoltaic.» *International Journal of Photoenergy* Volume 2019: 1-14. doi:10.1155/2019/1486749.
- Sun, Yunlin, Siming Chen, Liying Xie, Ruijiang Hong, y Hui Shen. 2014. «Investigating the Impact of Shading Effect.» *International Journal of Photoenergy* Volume 2014: 1-9. doi:10.1155/2014/763106.
- Xiu-Shui, Ma, Yao Guang-Hui, Ye Ling-Jian , Zhi Xiong-Fei , y Zhang Shu-Ming . 2015. «Distance calculation between photovoltaic arrays fixed on sloping ground.» *Journal of Computational Methods in Sciences and Engineering* (IOS Press) 15: 107–116. doi:10.3233/JCM-150525.

